

تأثیر لایه‌های مختلف اکسید بر خواص حسگری فیلم آلومینی آندی نانو حفره‌دار

حامد عباسیان^۱، محمد الماسی کاشی^۲، عبدالعلی رمضانی^۲ و علی خیاطیان^۲

۱. پژوهشکده علوم و فناوری نانو، دانشگاه کاشان

۲. دانشکده فیزیک، دانشگاه کاشان

(دریافت مقاله: ۱۳۹۰/۱۰/۸؛ دریافت نسخه نهایی: ۱۳۹۲/۵/۳)

چکیده

در کار حاضر، قالب اکسید آلومینیوم آنده شده به وسیله روش آنده نرم شتاب‌دار و در اسید فسفریک ۶٪ مولار و با ولتاژ آنده ۱۷۵ ولت ساخته شد. قطر حفره‌ها توسط سونش شیمیایی نمونه‌ها در اسید فسفریک ۵٪ مولار و در مدت زمان‌های مختلف ۸، ۱۶، ۳۲ و ۴۰ دقیقه افزایش داده شد. بررسی تصاویر میکروسکوپ الکترونی نشان داد که قطر حفره‌ها با زمان سونش به صورت نمایی افزایش می‌یابد. با لایه نشانی الکترودهای نقره روی نمونه‌ها و سپس با استفاده از یک مدار RC برای طیف سنجی امپدانسی، مشخصات حسگری نمونه‌های ساخته شده نسبت به رطوبت مورد بررسی قرار گرفت. اندازه‌گیری‌ها نشان داد که بیشترین میزان پاسخ حسگری نسبت به رطوبت مربوط به حسگر شاخته شده توسط نمونه با ۴۰ دقیقه سونش می‌باشد. برای این حسگر آستانه رطوبت نسبی قابل آشکار سازی ۳۰ درصد و زمان پاسخ و بازیافت به ترتیب ۸ و ۲ ثانیه بود.

واژه‌های کلیدی: آنده، آلومینی آندی نانو حفره‌دار، حسگر رطوبت، سونش شیمیایی، طیف سنجی امپدانسی

۱. مقدمه

فضایی، هوافضایی، نگهداری تجهیزات صنعتی و غیره مورد توجه قرار گرفته‌اند [۱-۴].

معمولًا سازوکار حسگری در حسگرهای الکتروشیمیایی بر پایه سنجش مشخصه ولتاژ، جریان، رسانندگی یا امپدانس می‌باشد. هنگامی که این حسگرها در معرض شارش گاز قرار می‌گیرند مولکول‌های گاز با سطح حساس آنها واکنش داده و با تغییر تعداد و یا میزان تحرک حامل‌های بار مقدار امپدانس (رسانندگی) آنها را تغییر می‌دهند. تغییر نسبی در امپدانس (رسانندگی) متناسب با تغییر نسبی در تراکم مولکول‌های گاز پیرامونی می‌باشد. البته میزان تغییر

حسگرهای رطوبت یکی از انواع مهم حسگرهای گازی می‌باشدند. با توجه به آن که فضای اطراف زمین همواره دارای مقدار متفاوتی رطوبت می‌باشد و نیز مولکول‌های آب قابلیت جذب بر سطوح مختلف را دارا می‌باشند. لذا اندازه‌گیری و کنترل رطوبت هوا نقش مهمی را در بهبود کیفیت زندگی و رشد صنعتی ایفا می‌نماید. سال‌ها است که حسگرهای رطوبت به علت کاربردهای گسترده در حوزه‌های مختلفی از قبیل انبار و نگهداری مواد غذایی، کنسرواسیون، دامداری، مطالعات

نانوحفرهای که به روش آنده نرم شتاب دار ساخته شده بود تأثیر لایه های مختلف اکسید تشکیل شده در طی فرایند آنده کردن بر روی خواص حسگری نمونه ها مورد مطالعه قرار گرفت.

۲. روش ساخت

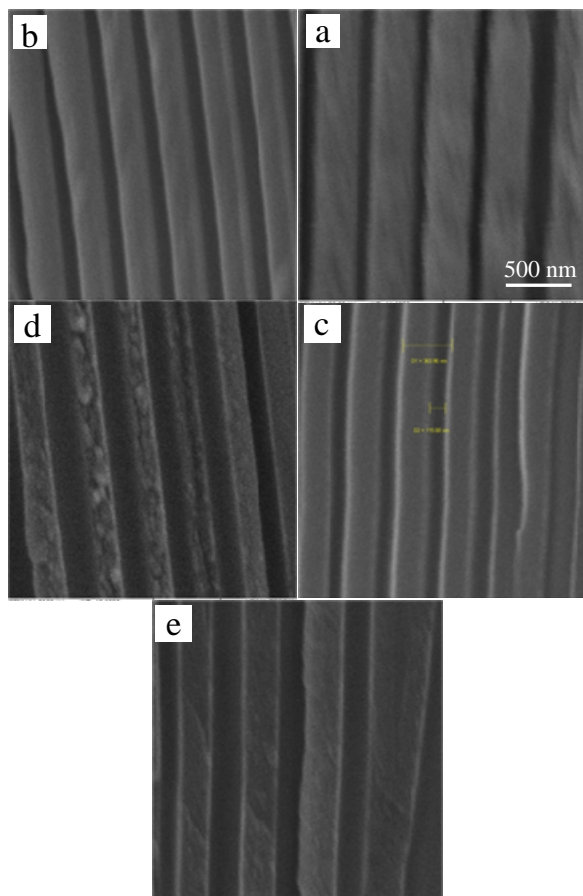
در این فعالیت برای ساخت فیلم های آلومینیمی نانوحفرهای از آنده کردن نرم شتاب دار استفاده شد. پیش از آنده کردن، فیلم های آلومینیومی خالص (با خلوص ۹۹/۹۹٪) و دارای ضخامت و قطر به ترتیب ۰/۵ و ۱۲ میلی متر) توسط استون و آب دوبار تقطیر شسته شد. برای ایجاد سطحی کاملاً صاف و صیقلی، نمونه ها در مخلوط اتانول و اسید پرکلریک و در جریان ثابت ۱۰۰ میلی آمپر بر سانتی متر مربع الکتروپولیش شدند. برای انجام آنده کردن نرم شتاب دار، راکتور آنده کردن به گونه ای طراحی شد که سطحی از نمونه که در معرض اسید فسفریک است در دمای ثابت صفر درجه سانتی گراد نگه داشته شود در حالی که دمای پشت نمونه از قابلیت تغییر برخوردار باشد. آنده کردن در محیط اسید فسفریک ۰/۶ مولار و در طی مراحل متوالی زیر انجام شد:

مرحله اول: در حالی که دمای جلو و پشت نمونه در صفر درجه سانتی گراد نگه داشته شده بود نمونه به مدت ۵ دقیقه تحت اختلاف پتانسیل ۲۵ ولت آنده گردید. در این مرحله از آنده کردن با تشکیل یک لایه اکسید روی سطح نمونه امکان آن فراهم می شود تا بتوان در مراحل بعد، ولتاژ آنده را بدون وارد آمدن هیچ گونه آسیبی به نمونه بالا برد. مرحله دوم: بدون ایجاد تغییر در دمای جلو و پشت نمونه، ولتاژ اعمالی با نرخ ثابت از ۲۵ ولت تا ۱۷۵ ولت و در مدت زمان ۵ دقیقه افزایش داده شد. مرحله سوم: در این مرحله دمای پشت نمونه با نرخ ثابت یک درجه در دقیقه از صفر تا ۲۳ درجه سانتی گراد بالا برد شد. این درحالی بود که دمای جلو نمونه در صفر درجه سانتی گراد ثابت نگه داشته شده بود. مرحله چهارم: از این زمان به بعد آنده کردن تحت شرایط ثابت (دمای جلو نمونه صفر درجه سانتی گراد، دمای پشت نمونه ۲۳ درجه سانتی گراد و ولتاژ آنده ۱۷۵ ولت) ادامه یافت به گونه ای که آنده کردن به مدت ۹۰۰۰ ثانیه طول کشید. به روش شرح داده شده در بالا، پنج نمونه با شرایط

در امپدانس علاوه بر تراکم مولکول های گاز، به نوع و قدرت برهم کنش بین مولکول های گاز با سطح حساس حسگر نیز بستگی دارد. پس با انتخاب سطح حساس مناسب می توان پاسخ و تمیز پذیری حسگر را برای یک گاز مشخص اصلاح و به حد استاندارد مورد نظر رساند. بنابراین در سال های اخیر بخش گسترده ای از تحقیقات انجام شده بر روی حسگرها، به طراحی و ساخت ماده مناسب برای حسگری با قابلیت تمیز پذیری یک نوع خاص از گاز معطوف گردیده است. از جمله این حسگرها می توان به حسگر های پلیمری [۵ و ۶] و سرامیکی [۷ و ۸] اشاره نمود. این حسگرها به علت سهولت در ساخت و هزینه نسبتاً پایین آنها بیش از سایر حسگرها مورد استفاده قرار گرفته اند.

علیرغم پیشرفت های حاصل شده در زمینه تولید سنسور های گازی بر پایه لایه های نازک، در سال های اخیر به رشد و توسعه فناوری نانو و بهینه ساختن حسگر های گازی به کمک نانوساختارها از جمله ساختارهای نانوحفره و نانوسیم انتظار می رود پارامترهای مهم حسگری نظیر پاسخ و زمان پاسخ به دلیل افزایش نسبی سطح مؤثر در آنها به طور قابل ملاحظه ای (تا ده ها مرتبه) بهبود یابند.

از چند دهه پیش استفاده از آلومینیمی آندي به عنوان حسگر رطوبت به دلیل برخورداری از ساختار نانوحفره دار با سطح مؤثر بسیار زیاد و نیز ویژگی های نیمه رسانایی مطلوب مورد توجه بوده است [۹-۱۳]. حسگر Al_2O_3 به عنوان یک ابزار مهم و کاربردی در اندازه گیری و کترل رطوبت در صنایع و سیستم های کترل شرایط محیطی شناخته شده است. تا کنون تحقیقات زیادی در زمینه اصلاح و افزایش پاسخ این نوع حسگر انجام شده است تا قابلیت آن را برای فعالیت در بازه های رطوبتی خاص و حوزه های مختلف صنایع، کشاورزی و نیز فرایندهای کترلی افزایش و بهبود بخشنید. همچنین به علت اهمیت استراتژیک حسگر های بر پایه فیلم آلومینیمی نانوحفره دار، مطالعات وسیعی برای درک و شناخت عملکرد و سازوکار حسگری در آنها انجام شده و خصوصیات حسگری این ساختار توسط محققان متعددی گزارش شده است [۱۴-۲۱]. در این تحقیق با ساخت حسگر های بر پایه فیلم آلومینیمی



شکل ۳. تصاویر SEM از سطح مقطع نمونه‌ها که در مدت زمان‌های مختلف سونش شده‌اند. (a) بدون سونش و (b)، (c)، (d) و (e) به ترتیب مربوط به نمونه‌های سونش شده به مدت ۸، ۱۶، ۳۲ و ۴۰ دقیقه.

شامل یک منبع ولتاژ متناوب قرار داده شدند و تغییرات امپدانسی آنها در رطوبت‌ها و فرکانس‌های مختلف اندازه‌گیری گردیدند.

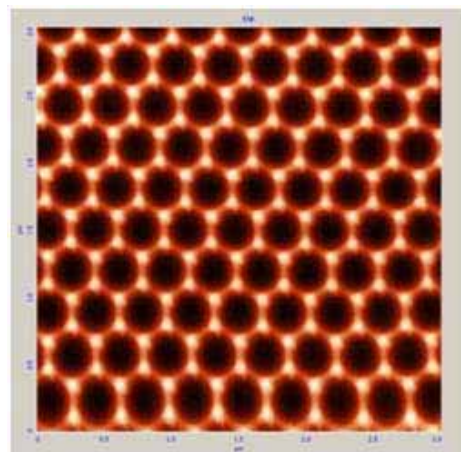
۳. نتایج و بررسی‌ها

در شکل ۲ تصویر توپوگرافی از کف حفره‌های نمونه آنده شده و بدون سونش که توسط میکروسکوپ نیروی اتمی تهیه شده نشان داده شده است. فاصله بین حفره‌ای در این نمونه حدود ۳۵۰ نانومتر می‌باشد.

در شکل ۳ تصاویر میکروسکوپ الکترونی از سطح مقطع نمونه‌های مختلف نشان داده شده است. با استفاده از تصاویر شکل ۳ قطر حفره‌ها در نمونه‌های سونش شده محاسبه و بر حسب زمان سونش در شکل ۴ آورده شده است. همان‌گونه

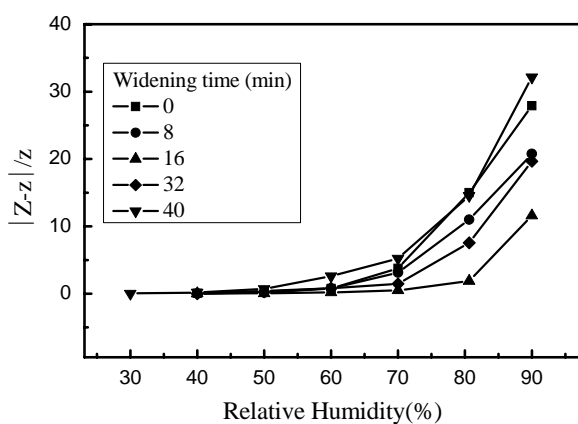


شکل ۱. تصویر سیستم تزریق رطوبت و اندازه‌گیری ویژگی‌های حسگری رطوبت.



شکل ۲. تصویر میکروسکوپ نیروی اتمی از کف حفره‌ها در نمونه آنده شده و بدون سونش (تصویر $3\mu\text{m} \times 3\mu\text{m}$).

یکسان آنده شدند. به منظور بررسی تأثیر افزایش قطر حفره‌ها، ۴ نمونه به طور جداگانه داخل محلول اسید فسفوریک نیم مولار و در دمای ۳۰ درجه سانتی گراد و در مدت زمان‌های ۸، ۱۶، ۳۲ و ۴۰ دقیقه سونش شدند و یک نمونه بدون تغییر قطر نگهداشته شد. ریخت سطح و اندازه حفره‌ها توسط میکروسکوپ‌های نیروی اتمی و الکترونی رویشی مورد بررسی قرار گرفت. برای استفاده از نمونه‌ها به عنوان حسگر، به روش تبعیر به وسیله باریکه الکترونی دو الکترود به شکل نیم دایره و از جنس نقره روی سطح نمونه‌ها نشانده شد و سپس توسط چسب نقره دو سیم مسی به الکترودها متصل گردید. به منظور بررسی ویژگی‌های حسگری نمونه‌ها نسبت به رطوبت، از سیستم نشان داده شده در شکل ۱ استفاده شد. حسگرها در مدار الکتریکی



شکل ۵. منحنی تغییرات پاسخ برحسب رطوبت نسبی برای نمونه‌ها با زمان‌های عریض شدگی متفاوت در فرکانس ۱۱۰ Hz.

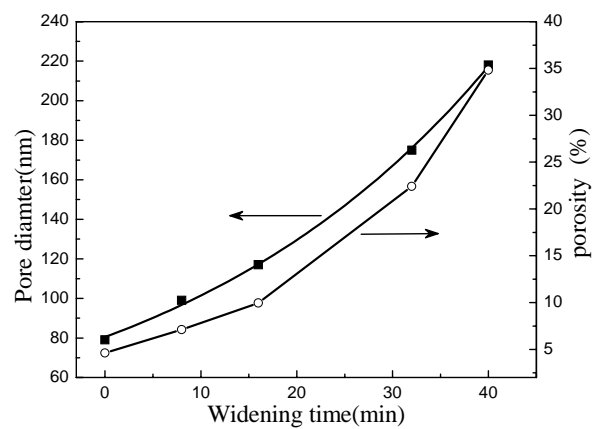
می‌توان میزان تغییرات تخلل سطح را توسط کمیت درصد حفره‌ای بودن P با رابطه (۱) مشخص نمود:

$$P = \frac{\text{سطح تخلخل}}{\text{سطح یاخته}} = \frac{2\pi}{\sqrt{3}} \left(\frac{r}{D_C} \right)^2 \times 100\% \quad (1)$$

در این رابطه r شعاع حفره و D_C فاصله بین حفره‌ای است. در شکل ۴ تغییرات درصد حفره‌ای بودن برحسب زمان سونش نشان داده است. با افزایش زمان سونش از صفر تا ۴۰ دقیقه، درصد حفره‌ای بودن از ۴/۶٪ به ۳۴/۸٪ افزایش یافته است.

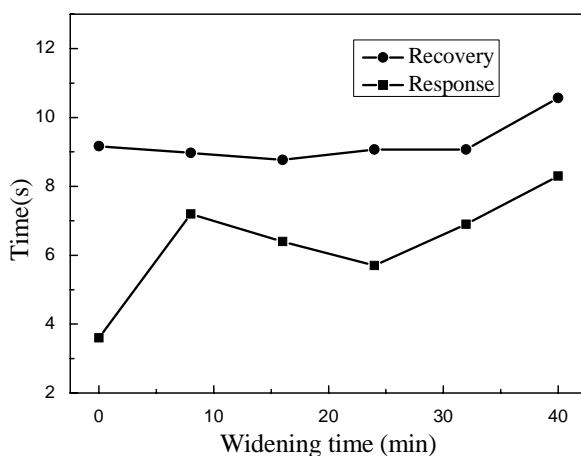
از آنجا که لایه سطحی حسگرها نقش اصلی را در خواص حسگری آنها ایفا می‌نمایند لذا پیش بینی شد که حسگرها با سطوح متفاوت از لحاظ جنس و ترکیب شیمیایی (لایه‌های مختلف آلومینیا) باید دارای خواص حسگری متفاوتی باشند. از طرفی می‌توان گفت که درصد حفره‌ای بودن با پاسخ حسگر ارتباط مستقیم دارد.

به منظور بررسی تأثیر جنس لایه‌های مختلف آلومینیا بر خواص حسگری، پاسخ حسگرهای مختلف نسبت به مقادیر متفاوت رطوبت اندازه گیری شد. در شکل ۵ منحنی تغییرات پاسخ نمونه‌ها برحسب رطوبت نسبی که در فرکانس ۱۱۰ هرتز اندازه گیری شده نشان داده شده است. در اینجا تغییر نسبی امپدانس به عنوان پاسخ حسگر در نظر گرفته شده است. تفاوت پاسخ حسگرها در رطوبت‌های زیر ۵۰٪ بسیار جزئی است. در حالی که این تفاوت با افزایش رطوبت تا ۹۰٪ به تدریج افزایش



شکل ۴. منحنی تغییرات اندازه قطر حفره‌ها و درصد حفره‌ای بودن برحسب زمان سونش.

که از نمودار مشخص است می‌توان یک منحنی نمایی صعودی از نقاط مشخص شده عبور داد که از رابطه‌ای به صورت $D = A + Be^{t/c}$ پیروی می‌نماید. در این رابطه D و t به ترتیب اندازه قطر حفره و مدت زمان سونش شیمیایی و A و B و C مقادیر ثابتی می‌باشند که به ترتیب برابر ۵۴۵۱۱۳، ۲۵۴۴۸۹ و ۳۲۰۰۴۵۸ هستند. افزایش نمایی قطر حفره‌ها با زمان سونش نشان می‌دهد که سرعت حل شدن فیلم اکسید آلومینیا در دیواره حفره‌ها با گذشت زمان افزایش می‌یابد. همچنین این پدیده نشان می‌دهد که حل شدن آلومینیا در دیواره حفره‌ها به صورت لایه لایه بوده و نیز سرعت حل شدن لایه‌های مختلف متفاوت می‌باشد. از آنچه که در بالا بیان شد می‌توان نتیجه گرفت که جنس و ترکیب شیمیایی لایه‌های مختلف آلومینیا که در طی فرایند آنده کردن تشکیل شده‌اند به تدریج تغییر می‌نمایند به گونه‌ای که مقاومت لایه‌ها در برابر خوردگی از سطح به سمت عمق دیواره حفره‌ها کاهش و لذا سرعت احلال افزایش می‌یابد. جنس لایه‌های مختلف آلومینیای آندی وابسته به میزان نفوذ آنیون‌های فسفات در آنها متفاوت خواهد بود. در لایه‌های سطحی که میزان نفوذ آنیون بیشتر از لایه‌های داخلی (خالص‌تر) است میزان استحکام لایه اکسید بیشتر می‌باشد. شایان ذکر است که تغییر جنس لایه‌ها توسط جوی و همکارانش نیز گزارش شده است [۲۲].

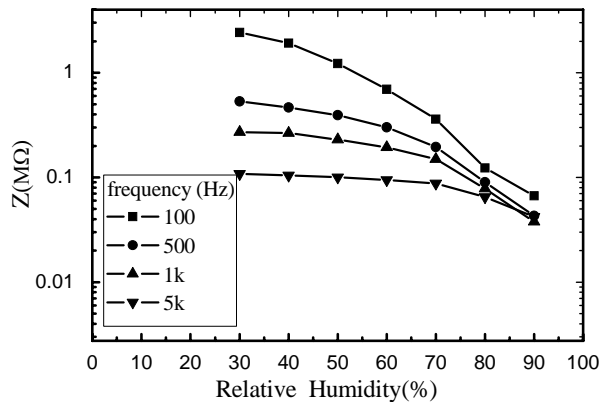


شکل ۷. منحنی تغییرات زمان پاسخ و بازیافت برای حسگرهای مختلف.

می‌باشدند. با قرار گرفتن حسگر در معرض رطوبت، مولکول‌های آب می‌تواند توسط سطح فیلم و نیز دیواره حفره‌های اکسید آلومینا جذب سطحی گرددن. با افزایش قطر حفره‌ها امکان تزریق رطوبت به داخل آنها افزایش یافته و از طرف دیگر سطح مؤثر حسگر دستخوش تغییر می‌گردد. همچنین با افزایش زمان سونش و لایه برداری از سطح اکسید داخل حفره‌ها، جنس دیواره تغییر نموده و استحکام آن کاهش می‌یابد. با توجه به عوامل بیان شده، با سونش نمونه در اسید فسفریک و به مدت ۴۰ دقیقه قابلیت جذب و واجذب مولکول‌های آب توسط سطح دیواره‌ها افزایش یافته و بنابراین میزان پاسخ حسگر افزایش و آستانه حسگری در آن به رطوبت ۳۰٪ کاهش یافته است.

۴. نتیجه‌گیری

پاسخ حسگرهای ساخته شده بر پایه فیلم آلومینی آندی که به روش آنده کردن نرم شتاب‌دار در اسید فسفریک ساخته شده‌اند وابسته به جنس لایه اکسید در سطح فیلم و دیواره حفره‌ها می‌باشد. از آنجایی که فیلم آلومینی آندی نانو حفره‌دار دارای ساختار لایه لایه با جنس متفاوت می‌باشد، این با کنترل زمان سونش شیمیابی فیلم آلومینی آندی و لایه برداری دقیق از دیواره حفره‌ها می‌توان به حسگرهایی با قابلیت حسگری دلخواه از نظر پاسخ و زمان‌های پاسخ و بازیافت دست یافت.



شکل ۶. منحنی‌های تغییرات امپدانس بر حسب رطوبت‌های نسبی مختلف در فرکانس‌های مختلف برای حسگر با ۴۰ دقیقه سونش.

می‌یابد. از بررسی پاسخ حسگرهای مختلف در بازه رطوبتی بالای ۵٪ می‌توان دریافت که با افزایش زمان سونش از صفر به ۱۶ دقیقه پاسخ حسگری نمونه‌ها کاهش و از ۴۰ تا ۱۶ دقیقه پاسخ روند صعودی را خواهد داشت. حسگر ساخته شده روی فیلم آلومینا آندی با ۴۰ دقیقه سونش بیشینه پاسخ را از خود نشان می‌دهد به گونه‌ای که پاسخ حسگر در رطوبت نسبی ۹۰٪ حدود ۳۵ می‌باشد. همچنین این حسگر قابلیت آشکارسازی دارای حداقل رطوبت ۳۰٪ می‌باشد.

در شکل ۶ منحنی‌های تغییرات امپدانس بر حسب رطوبت‌های نسبی مختلف و در فرکانس‌های متفاوت برای حسگر بهینه، یعنی نمونه با ۴۰ دقیقه سونش، نشان داده شده است. این نمودار نشان می‌دهد که با افزایش فرکانس، تغییر امپدانس مدار یا به عبارتی پاسخ کاهش می‌یابد. در شکل ۷ منحنی تغییرات زمان پاسخ و بازیافت برای حسگرها نشان داده شده است. همان طور که دیده می‌شود زمان پاسخ و بازیافت از مرتبه کمتر از ۱۰ ثانیه است که در گزارش‌ها قبلی کمتر به آنها دست یافته‌اند و از نکات بارز کار حاضر می‌باشد.

عوامل مختلفی بر نرخ و میزان پاسخ حسگرهای رطوبت ساخته شده بر پایه آلومینی آندی تأثیر گذار می‌باشند. در حسگرهای ساخته شده در این پژوهش، قطر حفره‌ها، مقدار سطح مؤثر و جنس اکسید آلومینا که توسط سونش شیمیابی قابل کنترل هستند، کمیت‌های مؤثر بر خواص حسگری رطوبت

مراجع

- Actuators B* **66** (2000) 63.
13. S Chatterjee, S Basu, and S Bandyopadhyay, *Review of Scientific Instruments* **72** (2001) 2792.
 14. F Ansbacher and A C Jason, *Nature* **171** (1953) 177.
 15. R Nahar, V Khanna and W Khokle, *J. Phys. D: Appl. Phys.* **17** (1984) 2087.
 16. MGKovac, D Chleck, and P Goodman, *Solid State Technol.* **21** (1978) 35.
 17. V Khanna and R Nahar, *Surface Science* **28** (1987) 247.
 18. A Madany, P Jasinski, and G Jasinski, *Proc. SPIE* (2006) 6348.
 19. D Saha, K K Mistry, and R Giri, *Sensors and Actuators B* **109** (2005) 363.
 20. Y Kima, B Junga, and H Leea, *Sensors and Actuators B* **141** (2009) 441.
 21. Y Lujun, Z Maojun, and H Li, *Nanotechnology* **20** (2009) 395501.
 22. J Choi, Y Luo, and R Wehrspohn, *Journal of Applied Physics* **94** (2003) 4757.
 1. B Kulwicki, *Journal of American Ceramic Society* **74** (1991) 697.
 2. H Arai and T Seiyama, “*Sensors: A Comprehensive Survey*”, VCH, Weinheim **3** (1992) 981.
 3. N Yamazoe and Y Shimizu, *Sensors and Actuators B* **10** (1986) 379.
 4. I Bearzotti, L Fratoddi, and S Palummo, *Sensors and Actuators B* **76** (2001) 316.
 5. Y Sakai and Y Sadaoka, *Sensors and Actuators B* **35** (1996) 85.
 6. C Grimes and D Kouzoudis, *Sensors and Actuators A* **84** (2000) 205.
 7. E Traversa, *Sensors and Actuators B* **23** (1995) 135.
 8. T Seiyama, N Yamazoe, and H Arai, *Sensors and Actuators A* **4** (1983) 85.
 9. L Ketron, *Ceramic Bulletin* **68** (1989) 860.
 10. S Basu, S Chatterjee, and M Saha, *Sensors and Actuators B* **79** (2001) 182.
 11. G Sberveglieri, R Anchisini, and R Murri, *Sensors and Actuators B* **32** (1996) 1.
 12. L H Mai, M Hoa, and N T Binh, *Sensors and*



The effect of different oxide layers on the sensing properties of anodic alumina nanoporous film

H Abasian¹, M Almasi Kashi², A Ramazani², and A Khayatian²

1. Institute of Nanoscience and Nanotechnology, Kashan University, Kashan, Iran
2. Institute of Physics, Kashan University, Kashan, Iran

(Received 29 December 2011 ; in final form 25 July 2013)

Abstract

In the present work, anodized aluminum oxide template was prepared by accelerated mild anodization technique in 0.6M phosphoric aside and 175 V, anodization voltage. Pore widening was performed by chemical etching in 0.5M phosphoric acid for 8, 16, 32, 40 minutes. Scanning Electron Microscopy (SEM) images showed the pores, diameter exponentially increases with etching time. By depositing silver contacts on the prepared samples and using an RC circuit for applying impedance spectroscopy, the characteristics of the humidity sensor based on constructed samples were investigated. The maximum response was seen for the sample etched for 40 minutes. For this sample, the detectable threshold of relative moisture was 30% and the response and the recovery time were 8, 2 seconds, respectively.

Keywords: alumina nanoporous, humidity sensor, chemical etch, impedance spectroscopy, response

For full article, refer to the Persian section